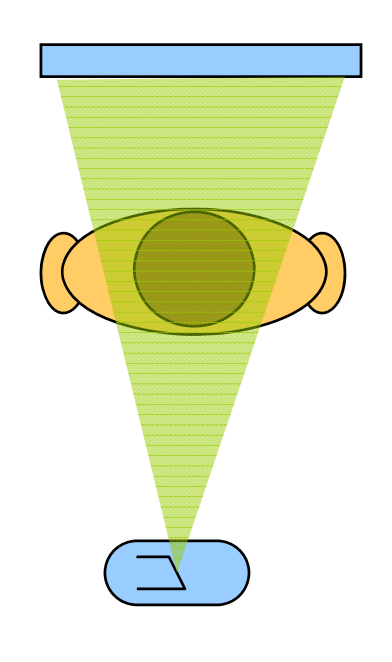
Tomografia Assiale Computerizzata (Computed Tomography)

Sommario

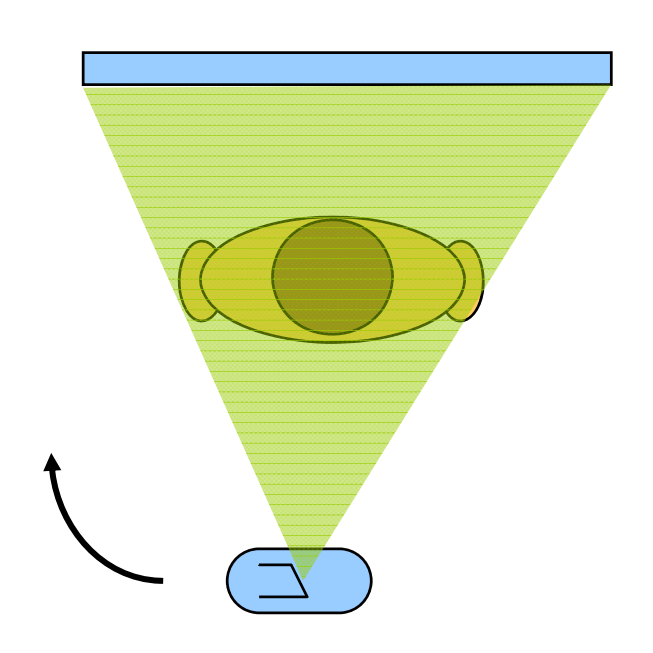
- Introduzione
- Descrizione del sistema
 - meccanica (gantry)
 - generazione di raggi X
 - rivelazione
 - trasmissione dati
- Ricostruzione
- Rivelatori
- Applicazioni

Definizione

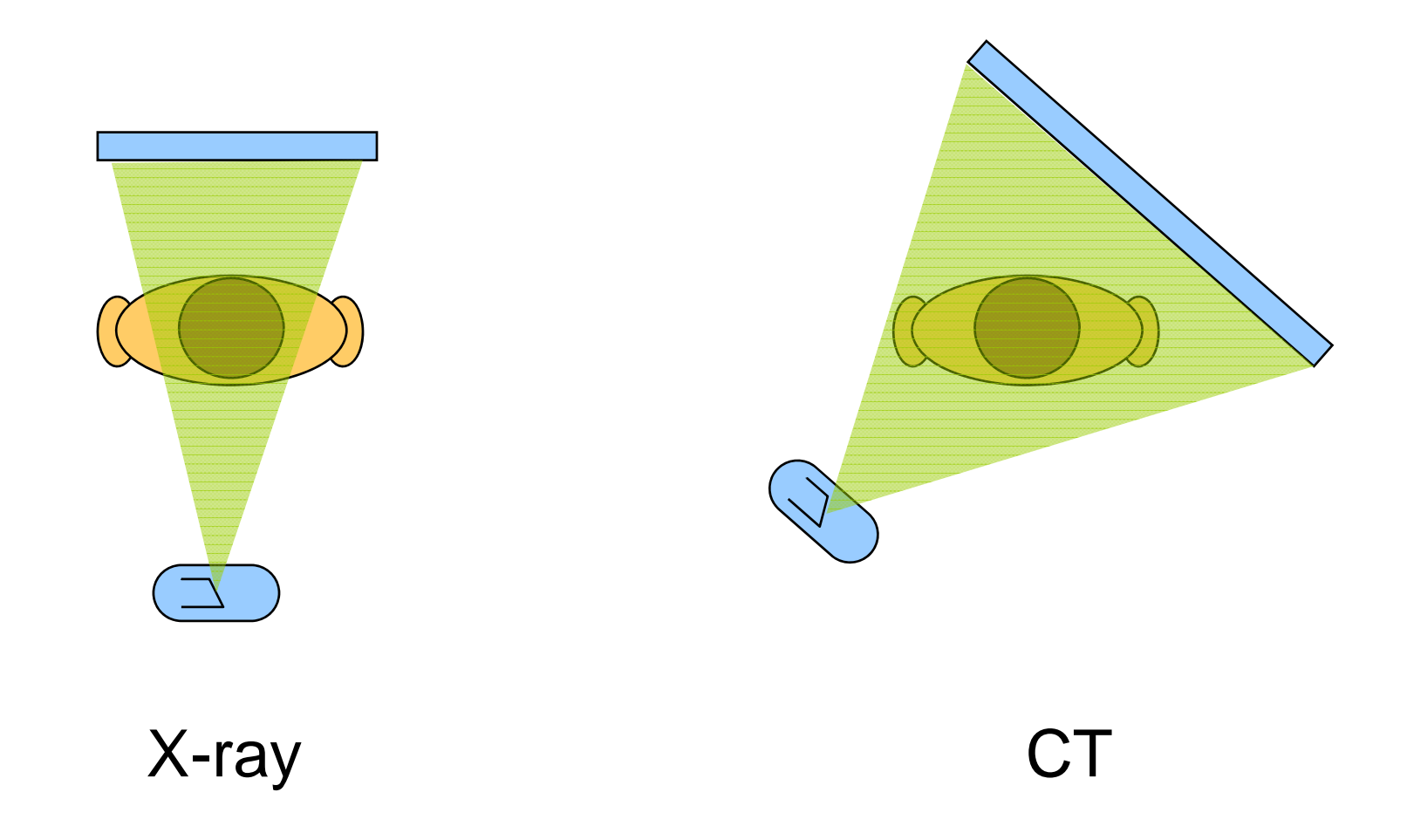
- La Tomografia Computerizzata (CT o TAC) è una tecnica di medical imaging per la visualizzazione di sezioni del corpo del paziente
- Componendo le immagini tomografiche dei vari piani tale tecnica consente la ricostruzione tridimensionale delle informazioni anatomiche del paziente
- La CT fa uso di radiazioni ionizzanti (raggi-X)
- Tomografia in trasmissione

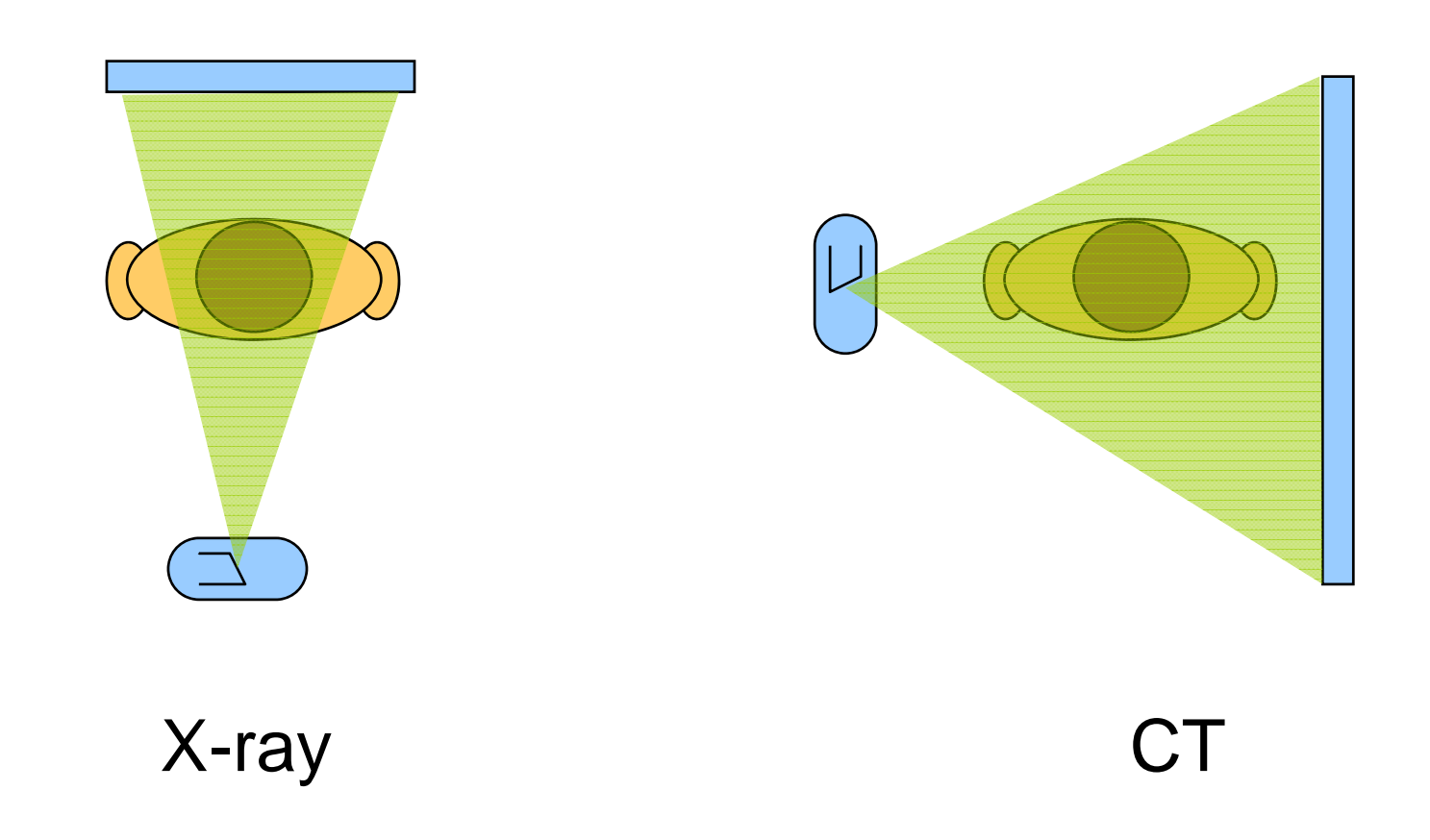


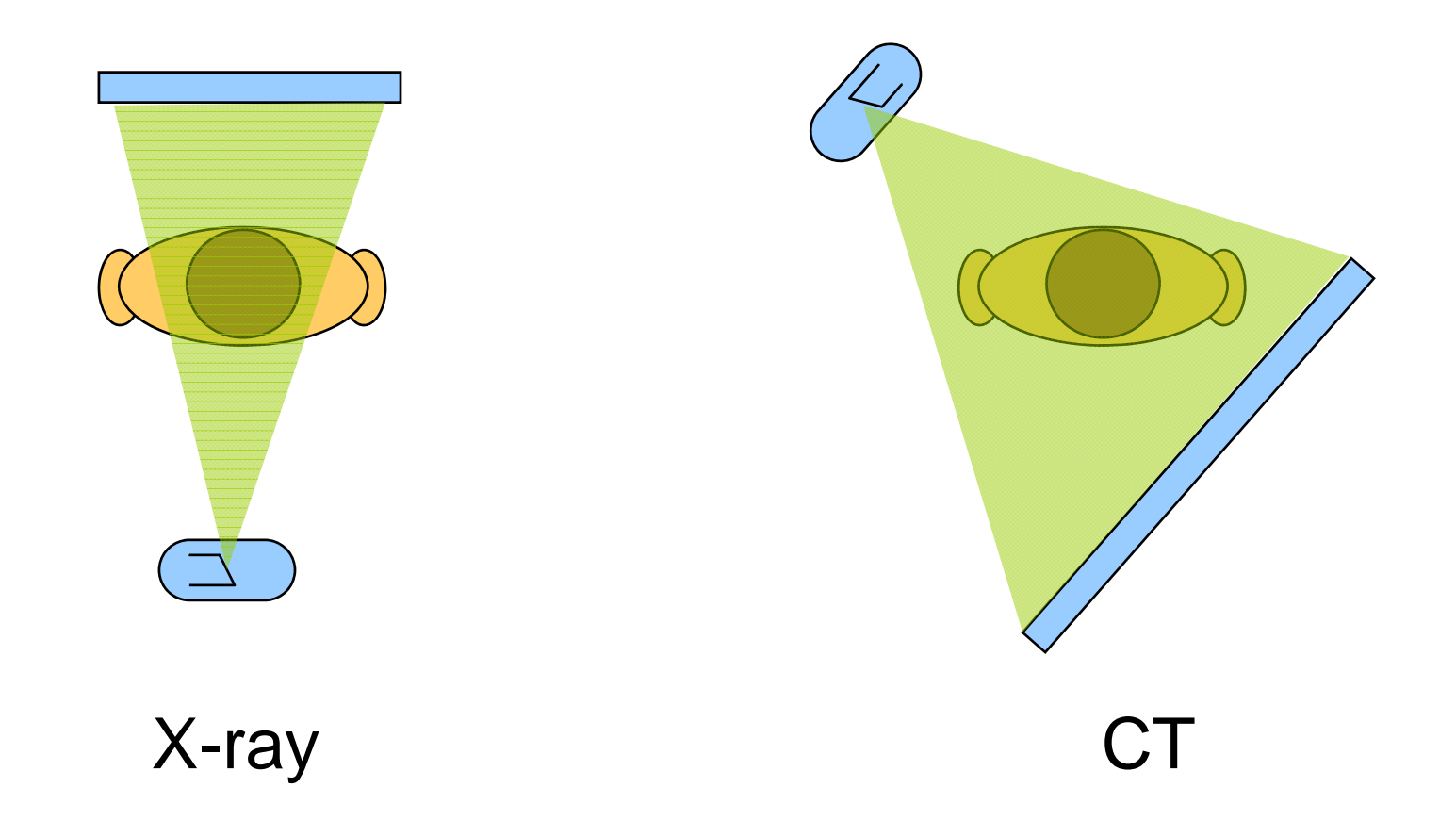
X-ray

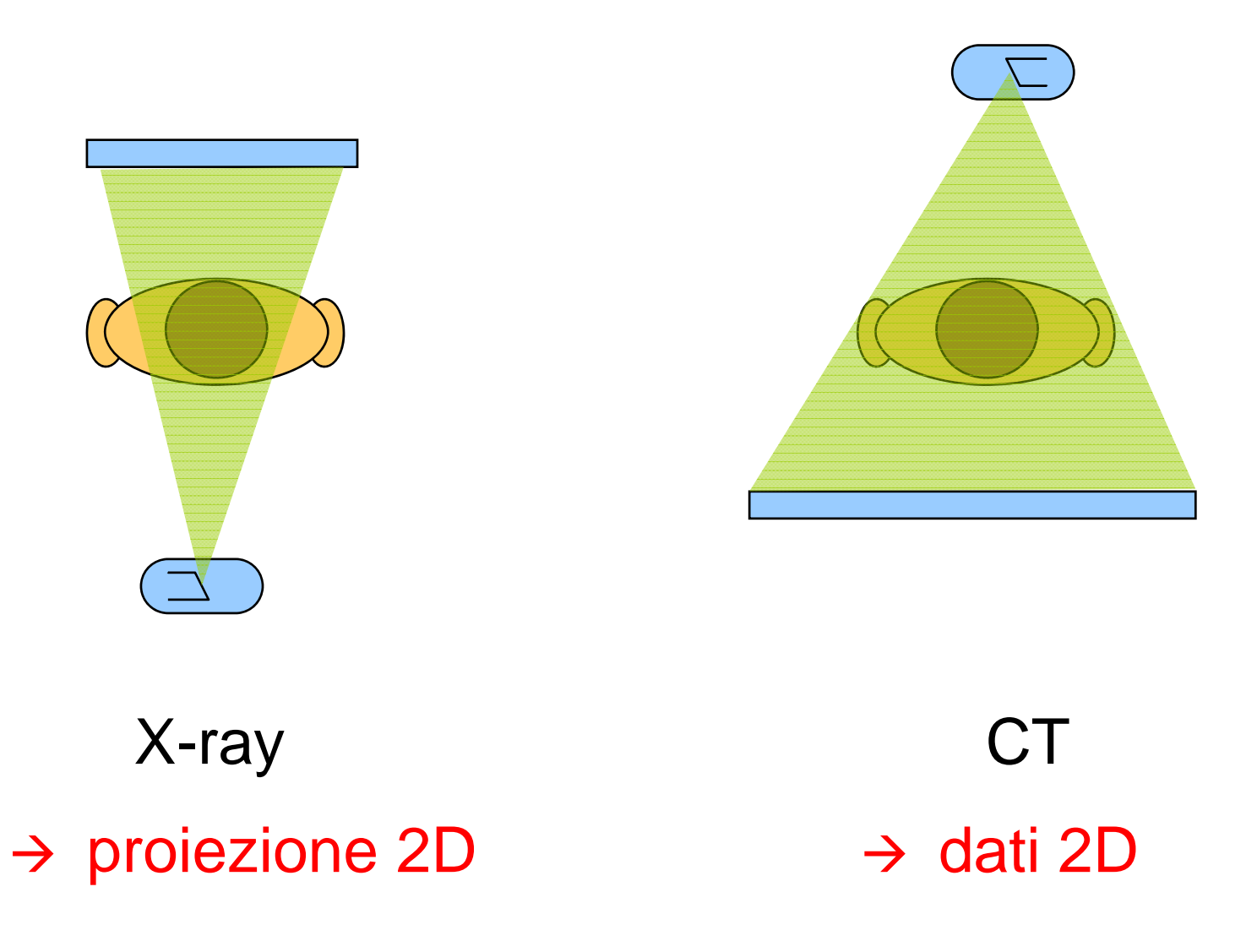


Computed Tomography (CT)

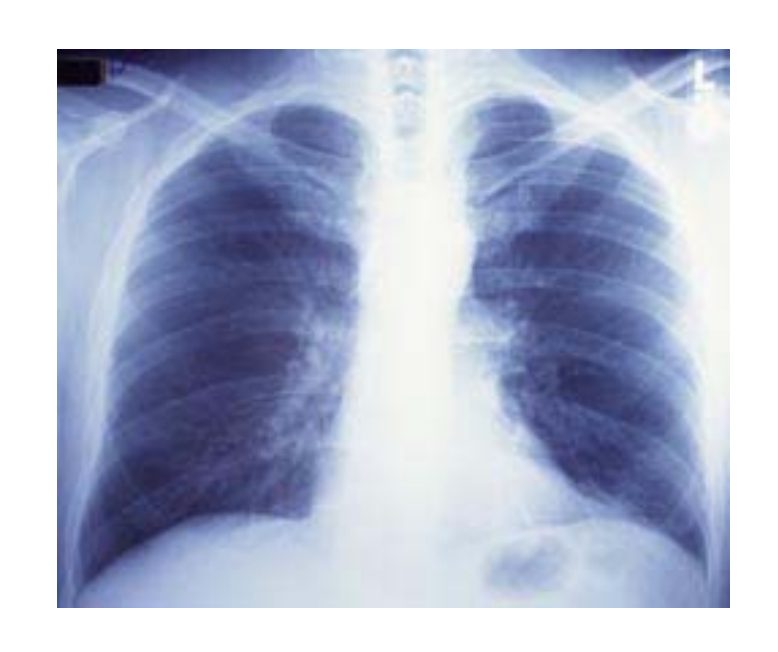








Differenza con X-Ray convenzionali

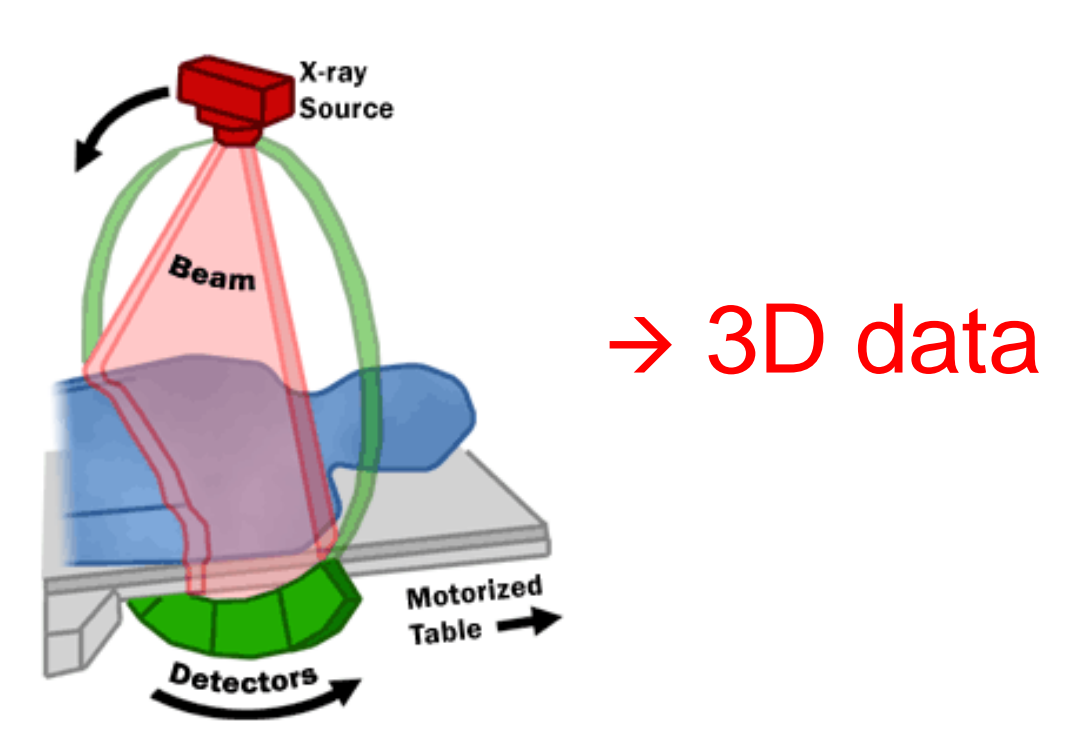


Chest X-ray Image



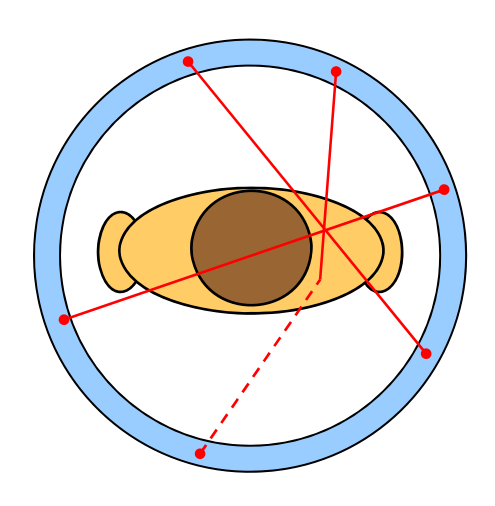
Cross-sectional Image of Abdomen

Nuove possibilità





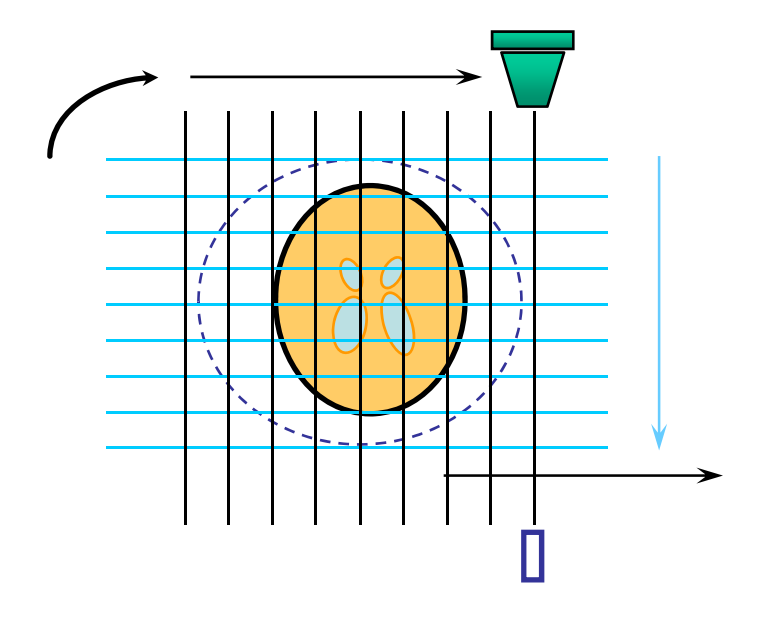
Tomografia in emissione



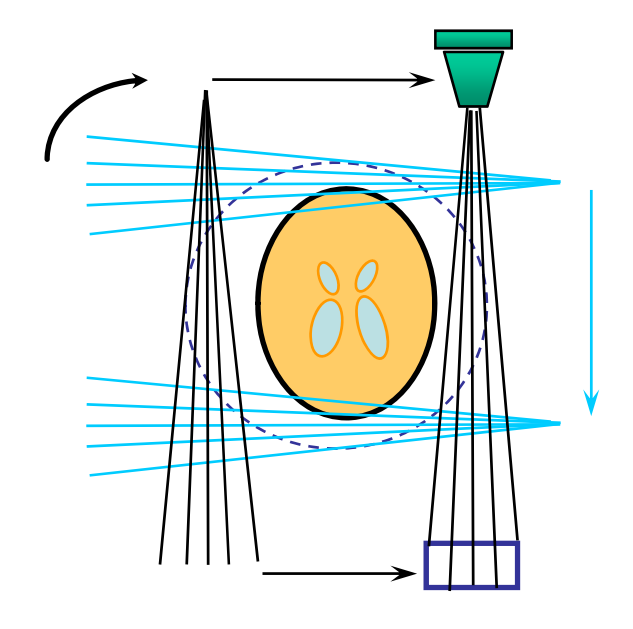
PET
Positron Emission Tomography

CT Scanner

1st Generation

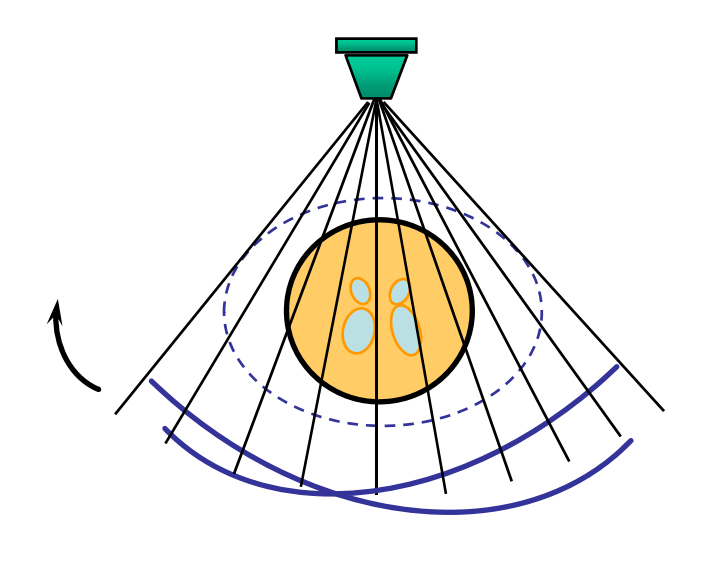


2nd Generation

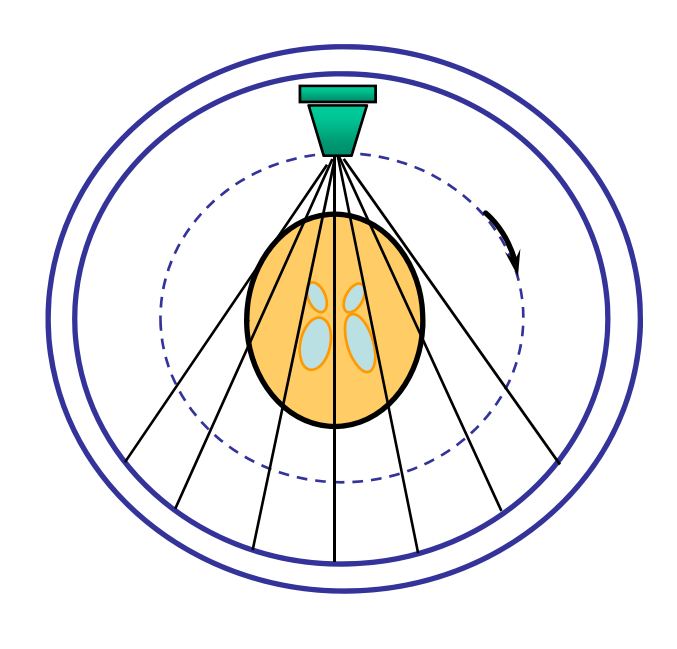


CT Scanner

3nd Generation



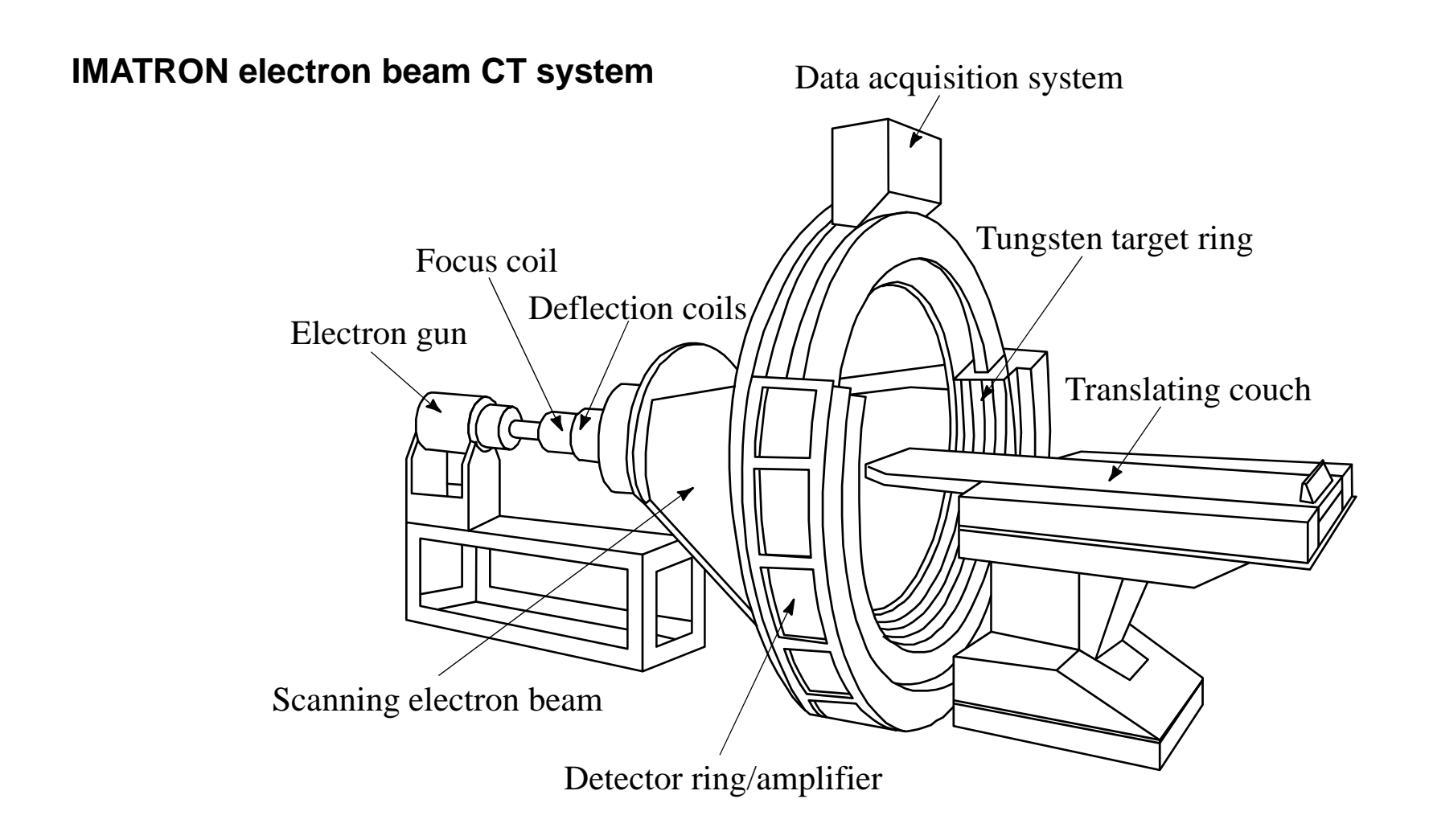
4th Generation



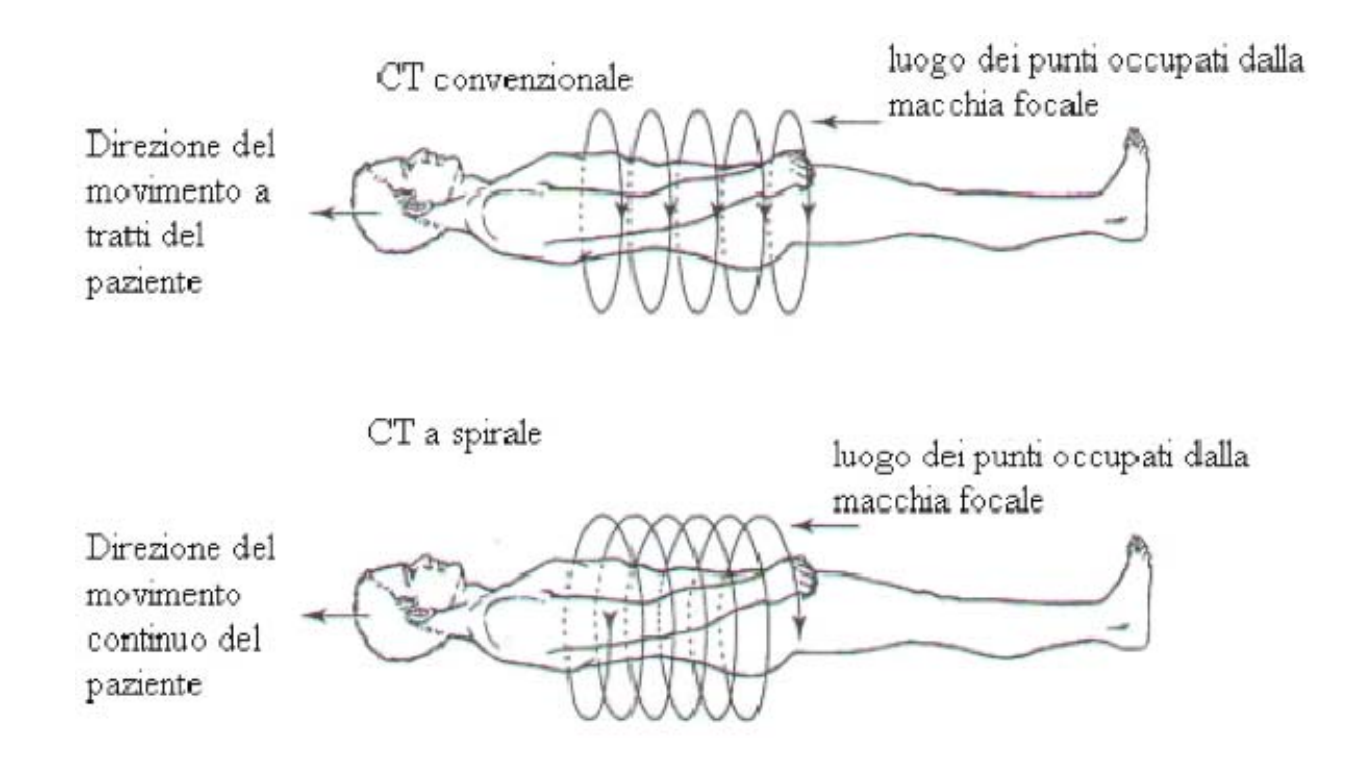
Confronto

Scheda Tecnica	I generazione	II generazione	III generazione	IV generazione
Movimento	TRX e detettore	TRX e detettori	TRX e detettori	TRX ruota
	traslano e ruotano	traslano e ruotano	ruotano	
tscan	120s - 6min	10s - 150s	1s - 13s	1s - 6s
tempo di	120 s	20s - 120s	3s - 24s	5s - 30s
ricostruzione				
N° detettori	1	3 - 30	30 - 800	600 - 4800
Angolo di	180°	180°	180° - 360°	360° - 420°
rotazione φ				
Passo angolare	1° - 2°	3° - 20°	3° - 20°	3° - 10°
Angolo del	0°	12° - 26°	30° - 50°	40° - 50°
ventaglio				

V Generazione CT



Scansione elicoidale



Scansione in una sola apnea

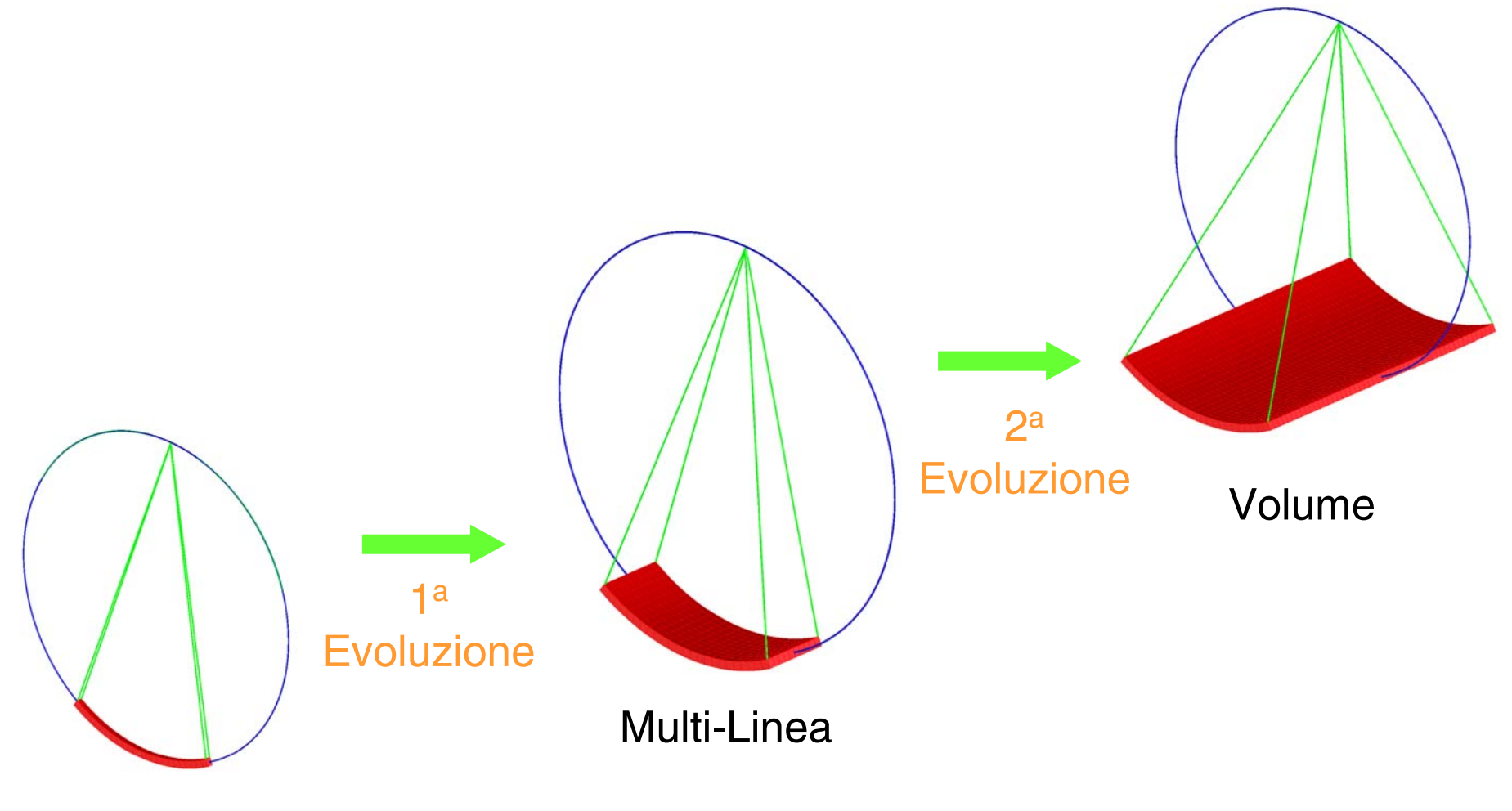
minor artefatti

velocità di avanzamento del tavolo collimazione (apertura dei collimatori)



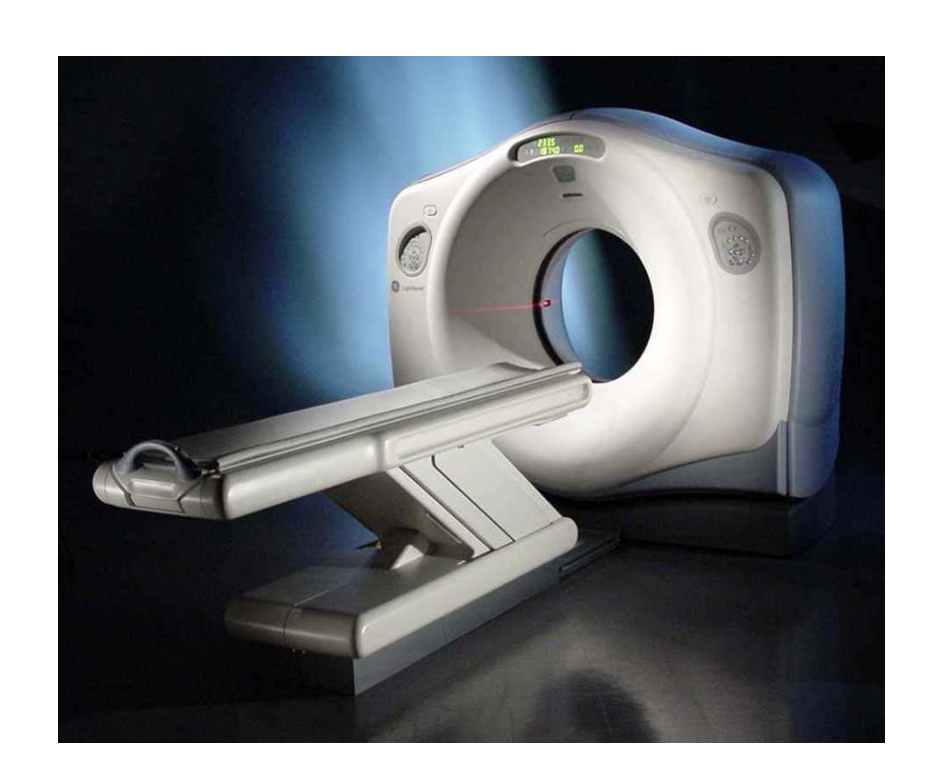
a sezioni sovrapposte o disgiunte

Evoluzione CT



Singola Linea

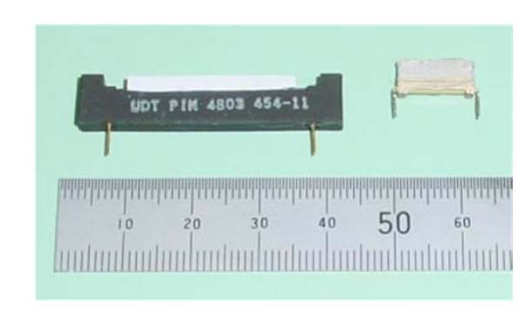
- Gantry
- Lettino paziente

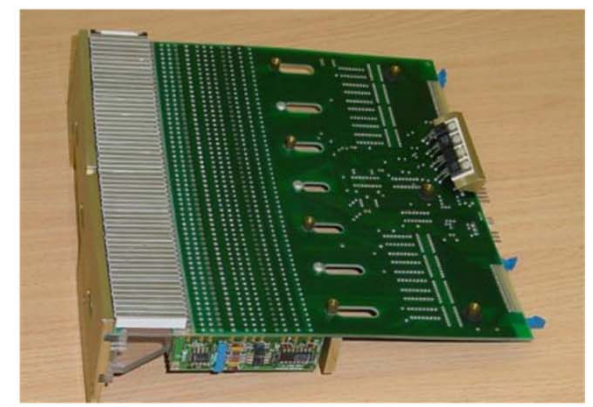


- Gantry
- Lettino paziente
- Tubo a raggi X



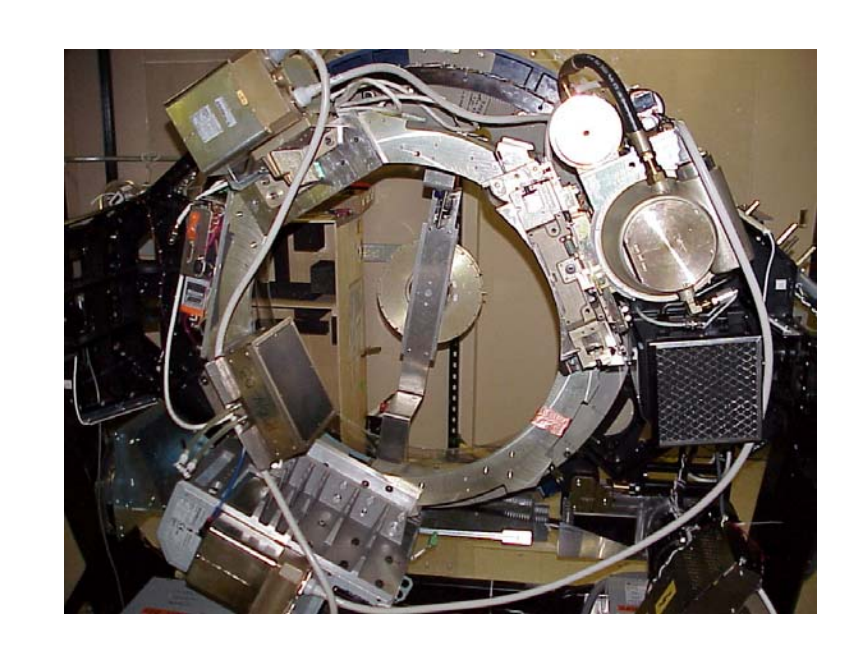
- Gantry
- Lettino paziente
- Tubo a raggi X
- Detector





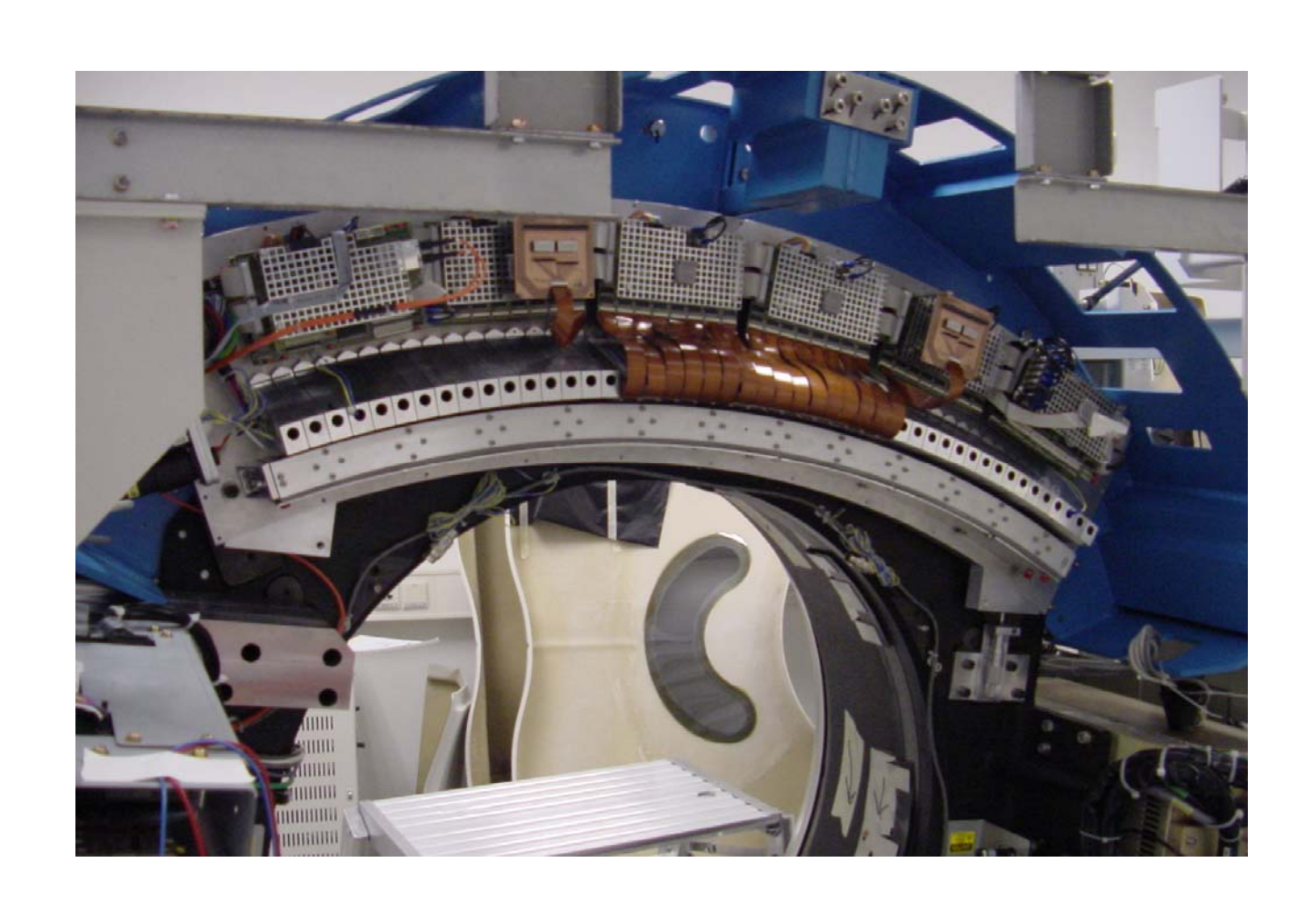


- Gantry
- Lettino paziente
- Tubo a raggi X
- Detector



 Servizi: trasformatori, connessioni, sistema di trasmissione dati, slip ring, elaboratori

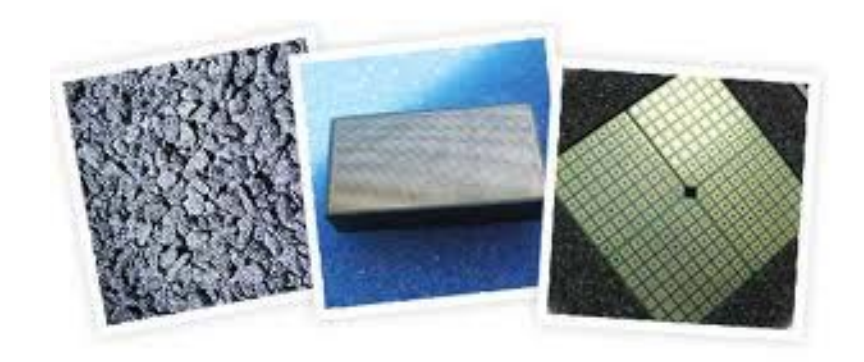
Rivelatori nel CT Gantry



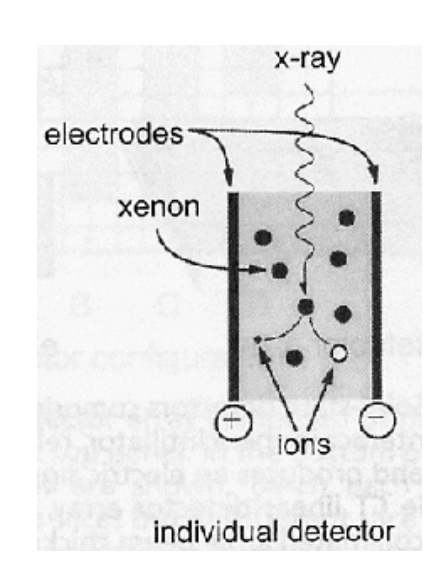
Rivelatori

Rivelazione diretta

 materiali fotoconduttori ad alto peso atomico sono usati per convertire direttamente i raggi X in coppie elettrone/lacuna: CZT (CdZnTe)



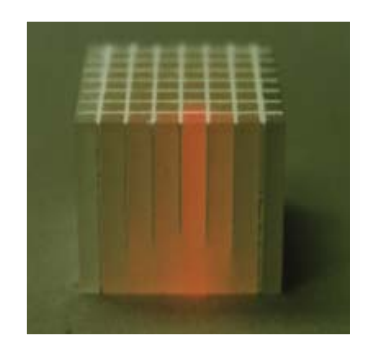
- rivelatore a gas (alta efficienza di conversione):
 - cella chiusa, piena di Xenon ad alta pressione; radiazione ionizza le molecole di gas, gli ioni si depositano sul rispettivo elettrodo

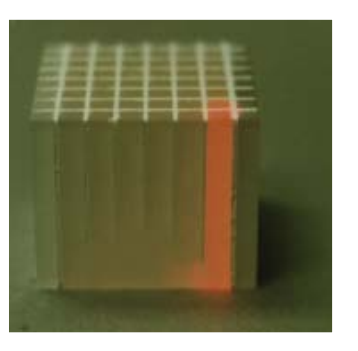


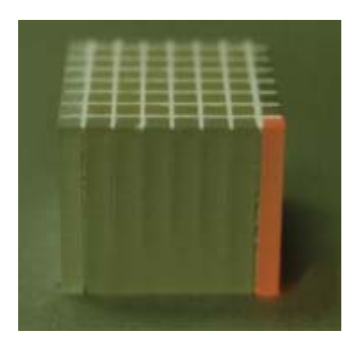
Rivelatori

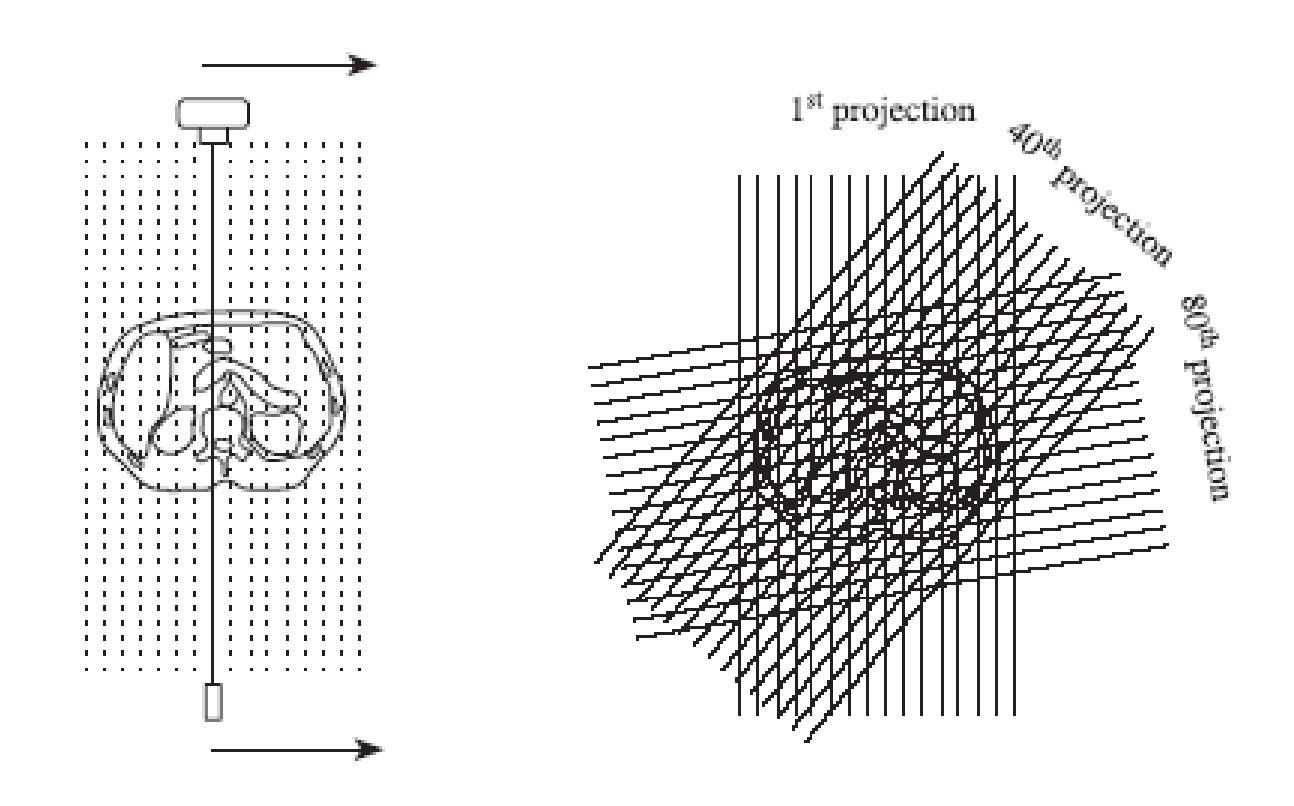
Rivelazione indiretta

- scintillatore (alta efficienza di assorbimento): assorbe i raggi-X riemettendo radiazione visibile, rivelata tramite un fotodiodo o un fotomoltiplicatore
- Esempi: CsI, CdWO₄, leghe di ittrio e gadolinio



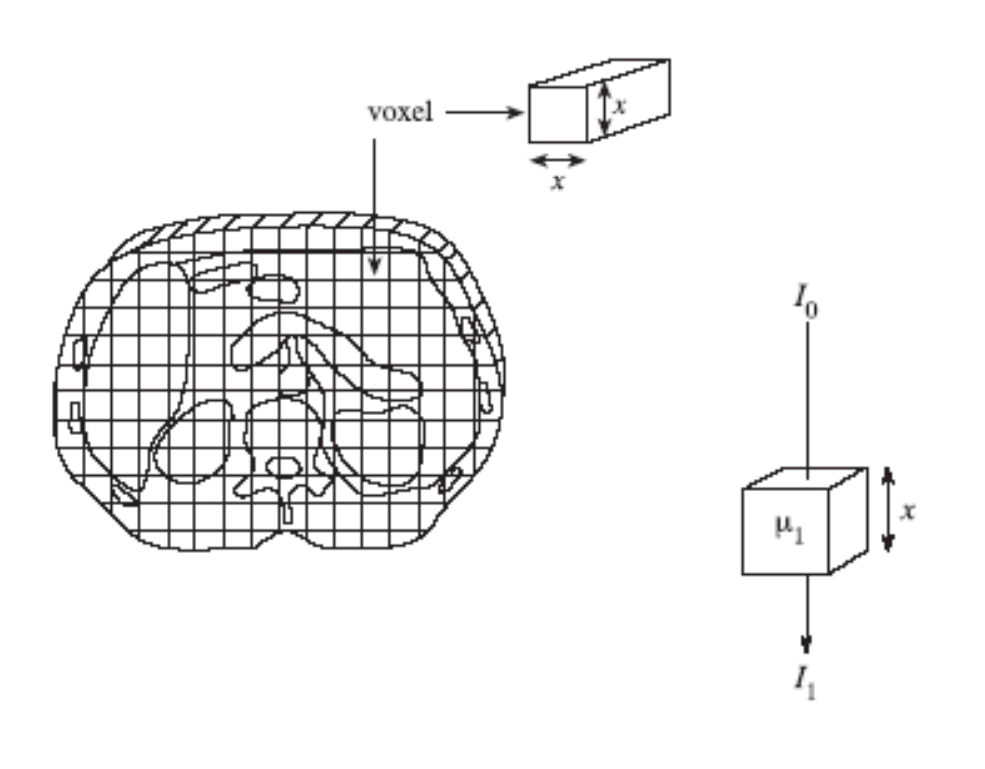


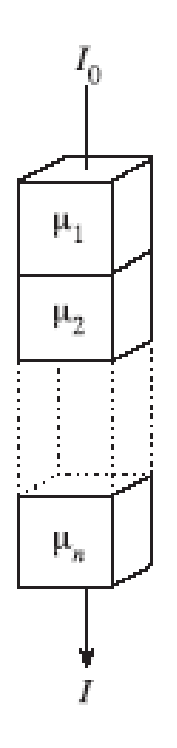




Raysum misura fatta da ciascun rivelatore

Proiezione insieme dei raysum relativo a ciascun angolo

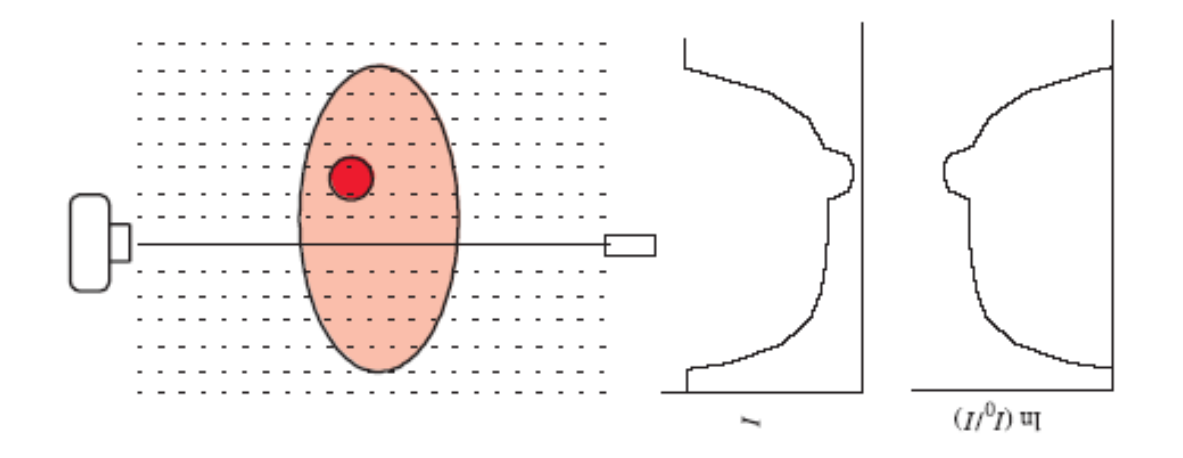




$$I_1 = I_0 \exp(-\mu_1 x)$$

$$I_1 = I_0 \exp(-\mu_1 x)$$
 $I = I_0 \exp(-x \sum_{i=1}^n \mu_i)$

$$\ln \frac{I}{I_0} = -x \sum_{i=1}^n \mu_i$$



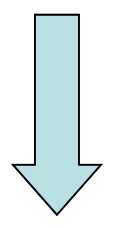
Caso reale:

- raggi X poly E indurimento del fascio indur
- fan beam aumento della complessità di ricostruzione

Realizzare tante misure quanti sono i voxel (coefficienti di attenuazione):

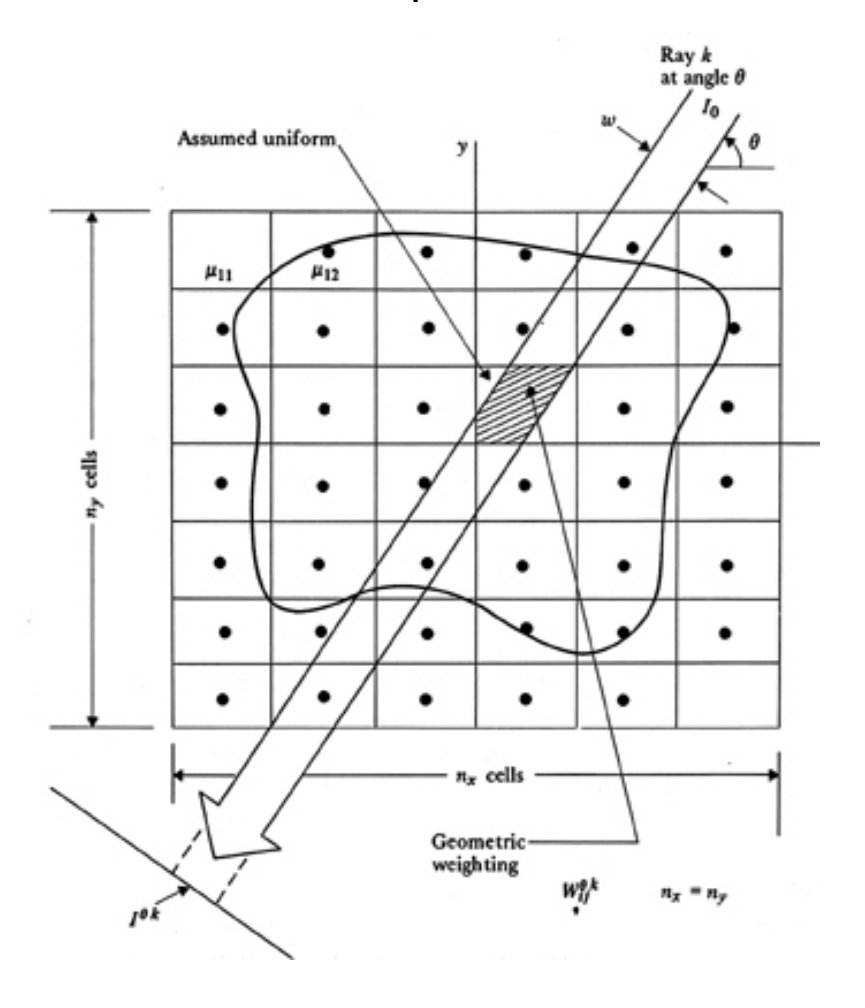
 $512 \times 512 \text{ pixel} = 262144 \text{ voxel}$

misura di 262144 raysum

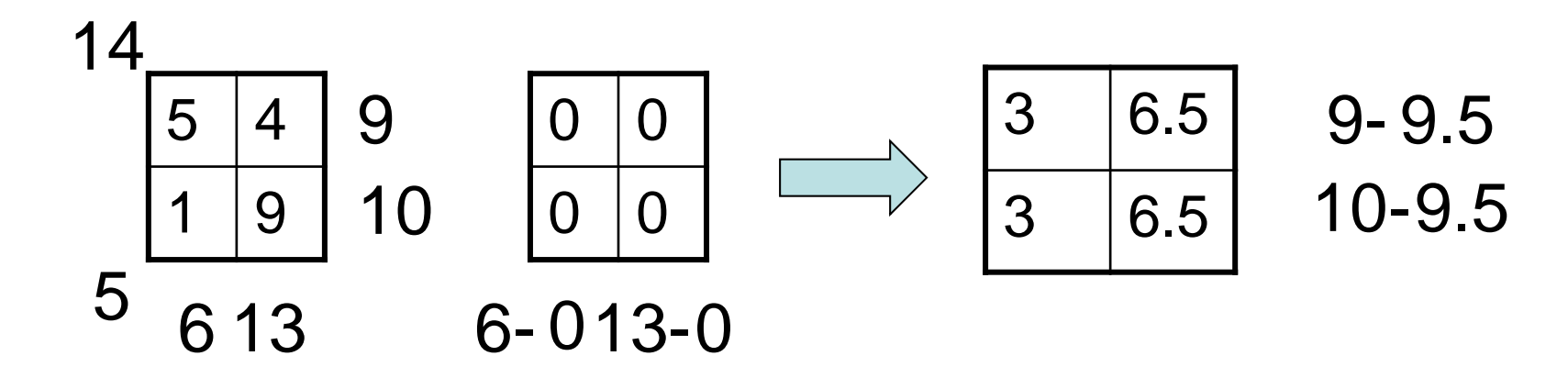


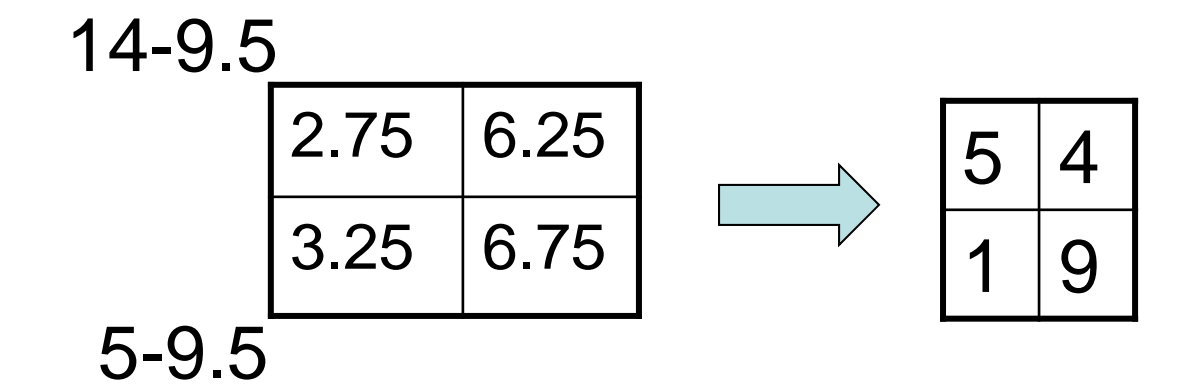
262144 equazioni !!!!

Ulteriore problema:

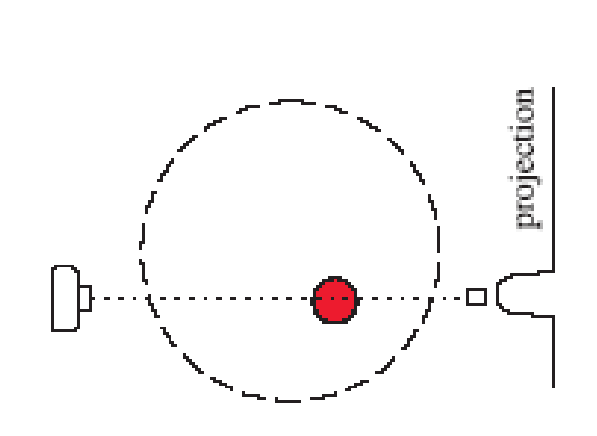


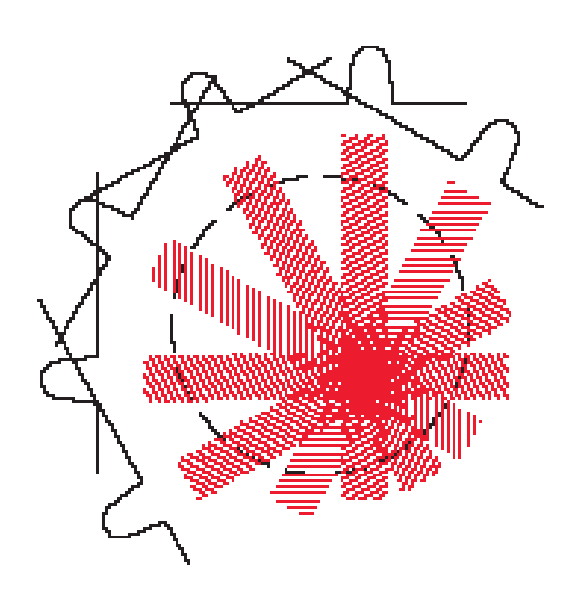
Tecnica algebrica





Back Projection semplice

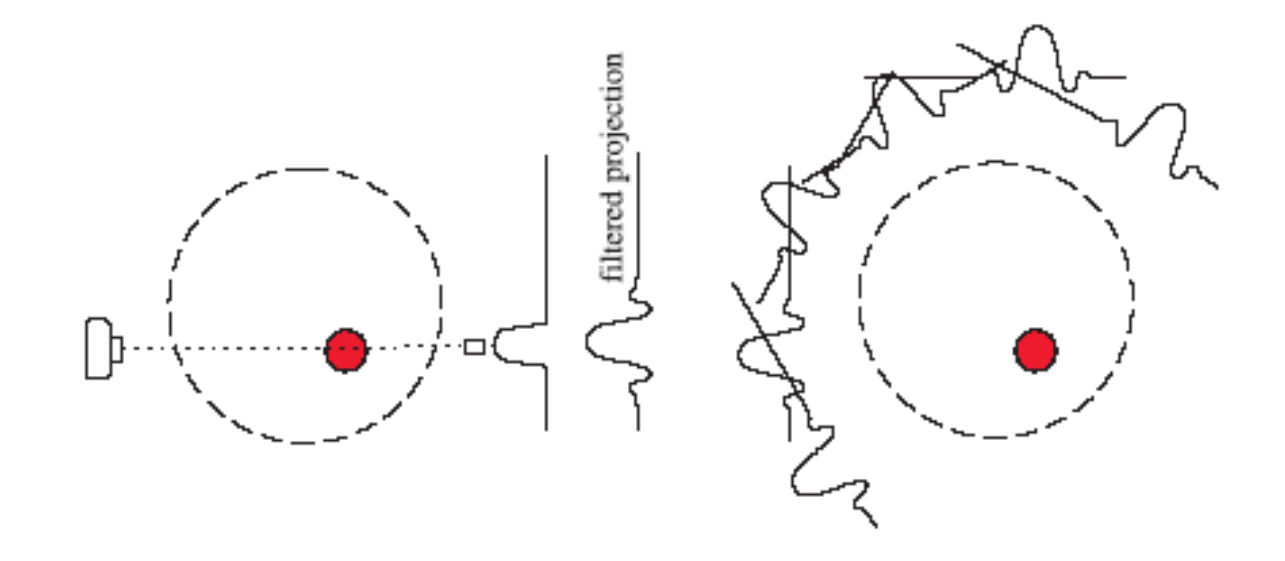




Artefatti: star pattern

Scarsa qualità

Back Projection Filtrata

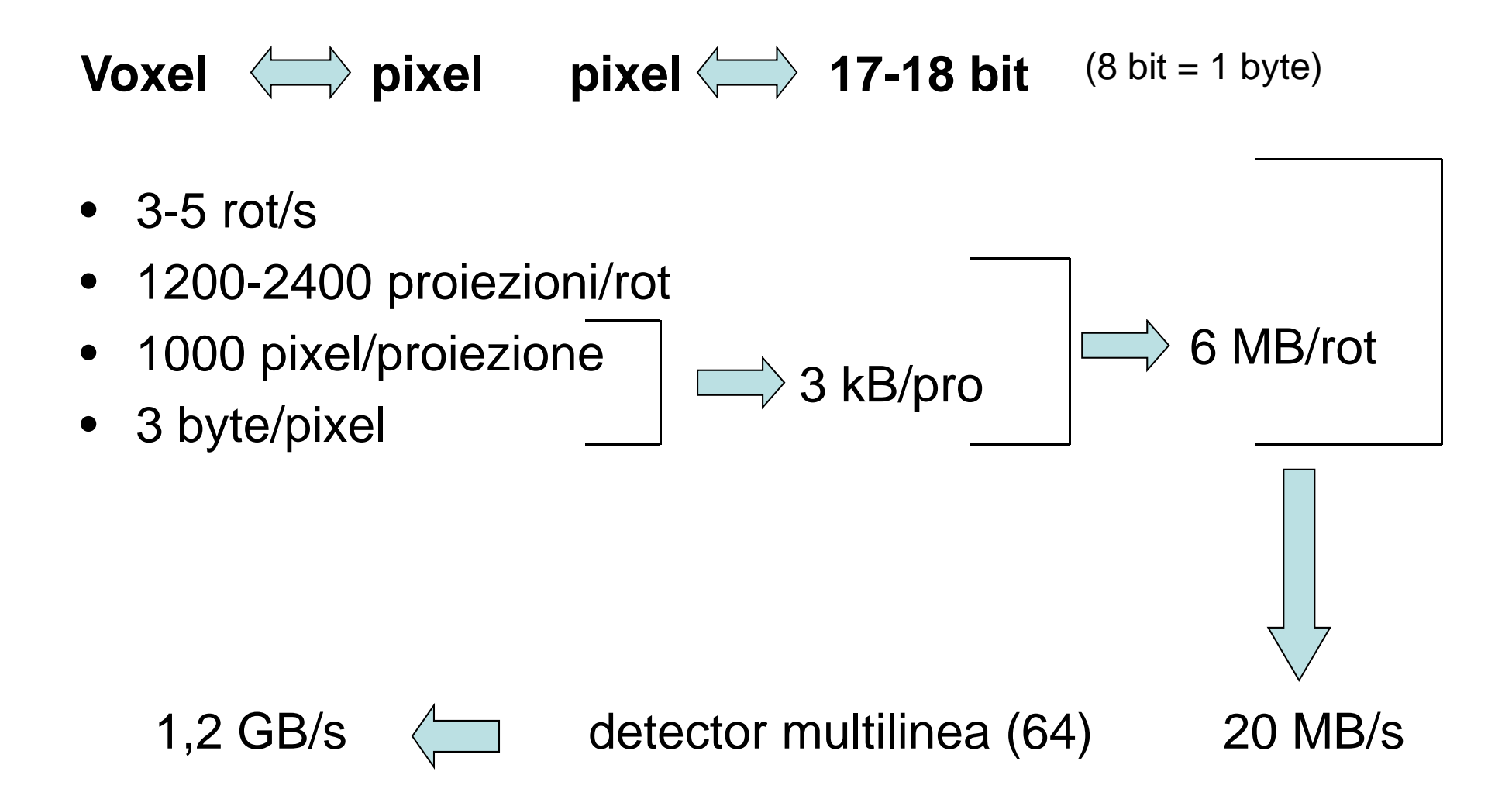


Eliminazione degli artefatti

Ottima qualità

Velocità di ricostruzione

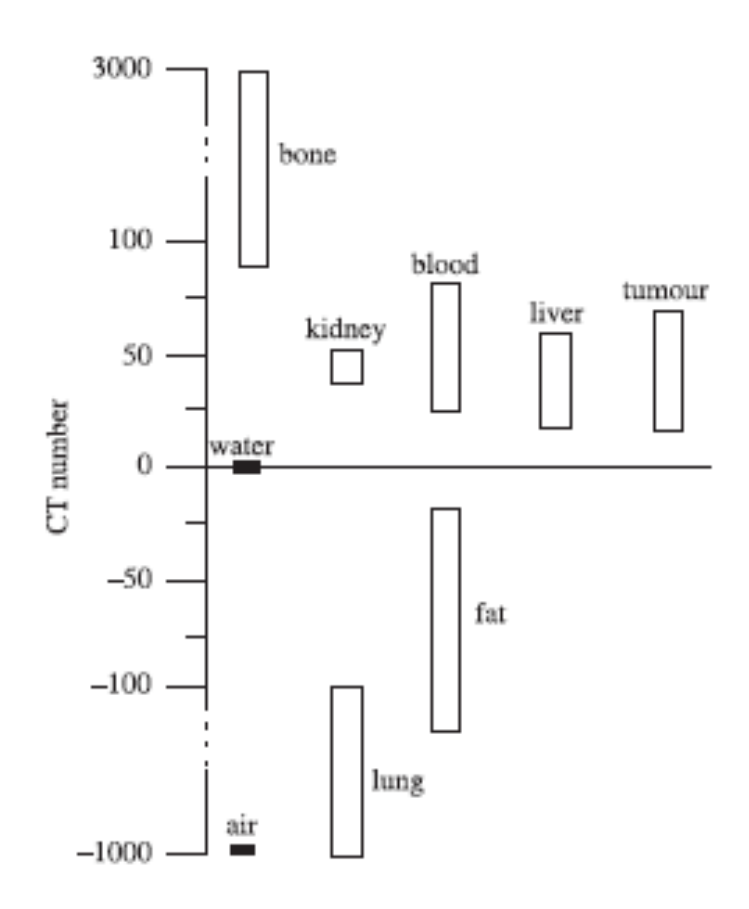
Trasmissione dati



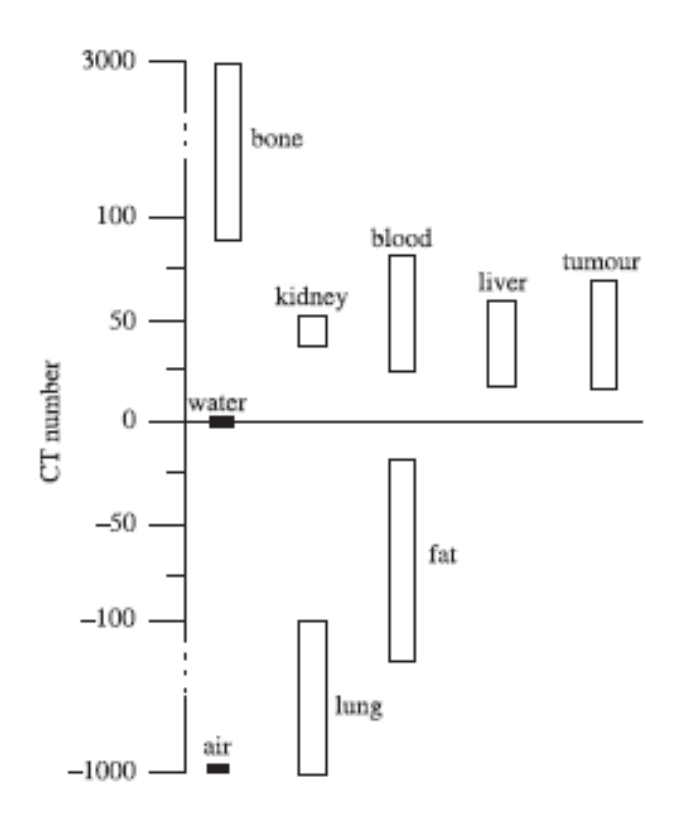
Numeri CT

Unità di Hounsfield

$$N_i = 1000 \times \frac{\mu_i - \mu_w}{\mu_w}$$



CT numbers



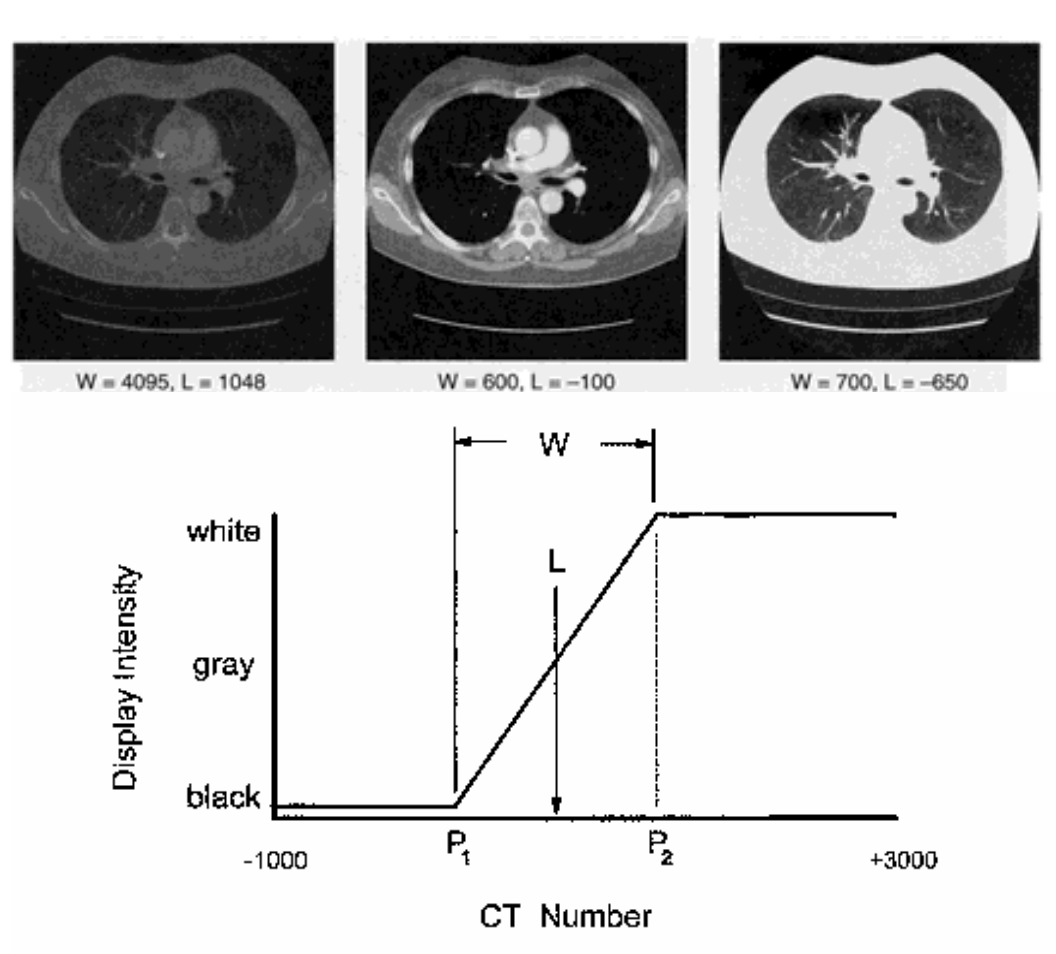
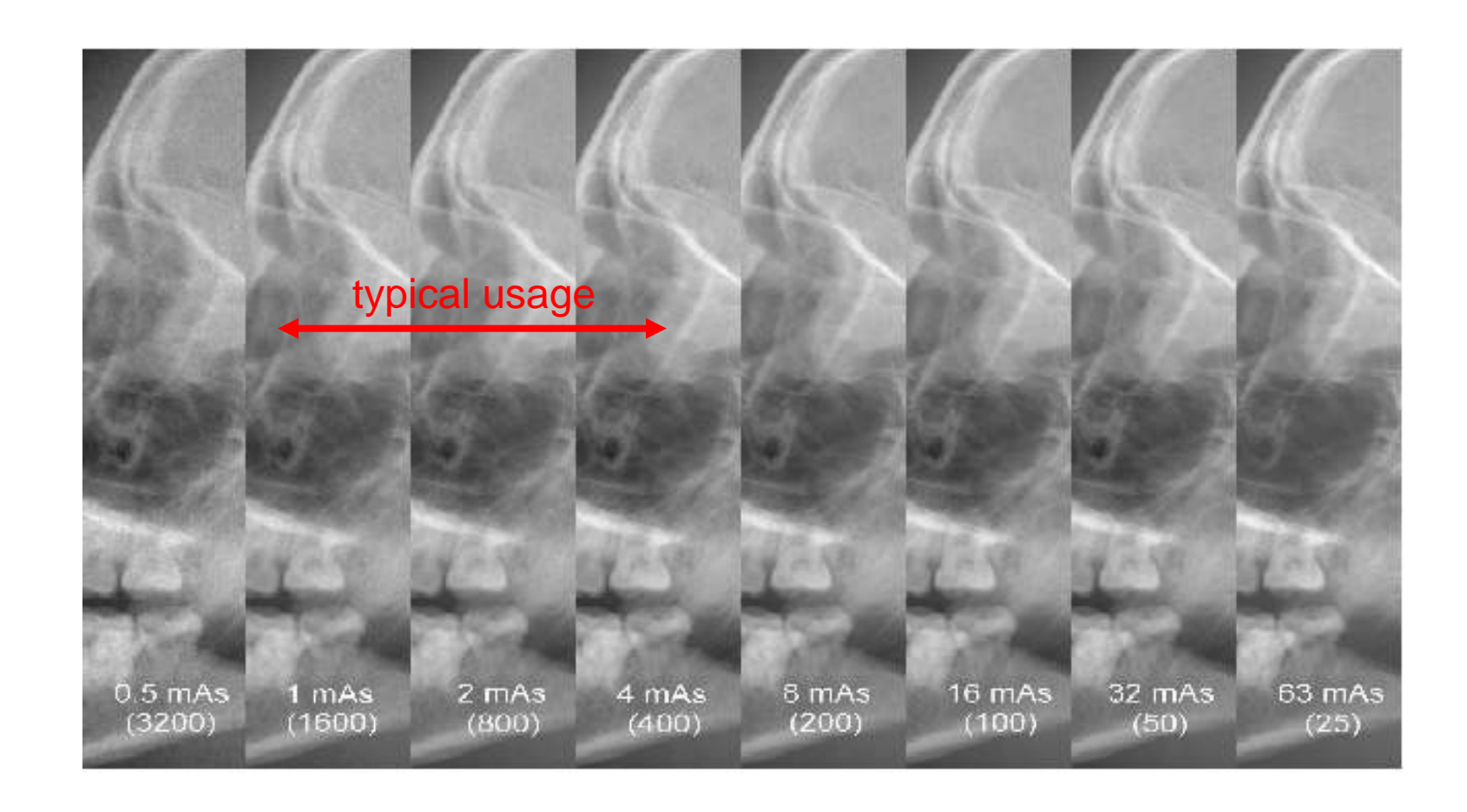


FIGURE 13-32. The concept of how the window and level values are used to manipulate the contrast of the CT image is illustrated. The *level* is the CT number corresponding to the center of the window. A narrow window produces a very high contrast image, corresponding to a large slope on the figure. CT numbers below the window (lower than P₁) will be displayed on the image as black; CT numbers above the window (higher than P₂) will be displayed as white. Only CT numbers between P₁ and P₂ will be displayed in a meaningful manner. The thoracic CT images **(top)** illustrate the dramatic effect of changing the window and level settings.

Rivelatori: Contrasto



Ottenere contrasti paragonabili diminuendo la dose!

Dosi nelle differenti applicazioni

Diagnostic Procedure	Typical Effective Dose (mSv) ¹	Number of Chest X rays (PA film) for Equivalent Effective Dose ²	Time Period for Equivalent Effective Dose from Natural Background Radiation ³
Chest x ray (PA film)	0.02	1	2.4 days
Skull x ray	0.07	4	8.5 days
Lumbar spine	1.3	65	158 days
I.V. urogram	2.5	125	304 days
Upper G.I. exam	3.0	150	1.0 year
Barium enema	7.0	350	2.3 years
CT head	2.0	100	243 days
CT abdomen	10.0	500	3.3 years

- 1. Effective dose in millisieverts (mSv).
- 2. Based on the assumption of an average "effective dose" from chest x ray (PA film) of 0.02 mSv.
- 3. Average "effective dose" from natural background radiation of 3 mSv per year in the United States.

Parametri dei rivelatori nella CT

Pixel size $\leq 1.1 \times 1.4 \text{ mm}$

Rise time/fall time $<10 \,\mu s$

Dynamic range up to 18 bits

Frame rate 1,000 to 10,000 fps

Linearity <0.05% error at any signal level relative to an ideal linear response

Number of pixels $672 \times 128 = 86,016$

Maximum energy 140 keV

Maximum X-ray flux $1-10 \times 10^9 / \text{mm}^2 / \text{s}$

Maximum afterglow <200 ppm after 5 ms

<20 ppm after 500 ms

PD^a responsiveness at 540 nm ≥0.36 A/W (BIP-based detector)

PD^a responsiveness at 500 nm ≥0.31 A/W, i.e., quantum efficiency of 0.77

Shunt resistance $\geq 1 \text{ G}\Omega$

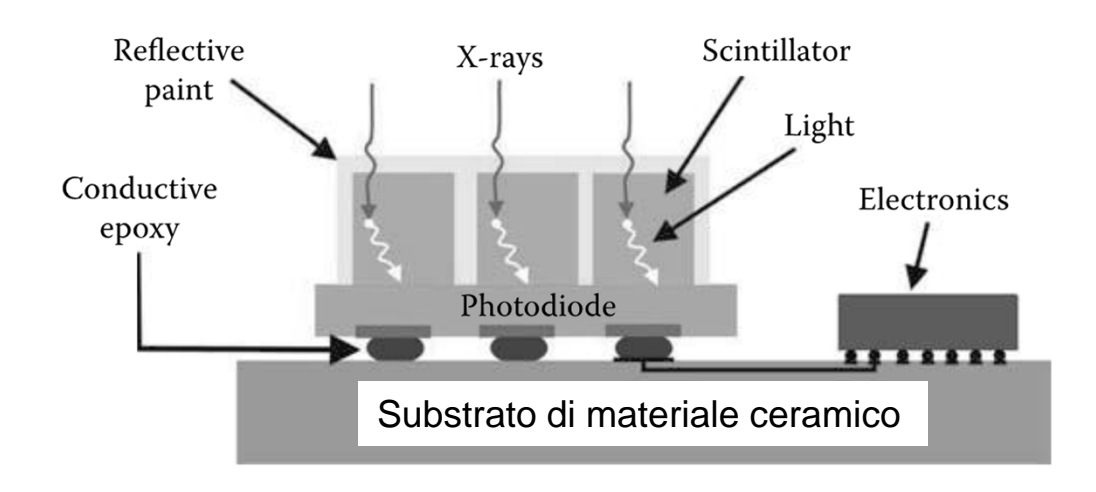
Capacitance <20 pF

Crosstalk <1%

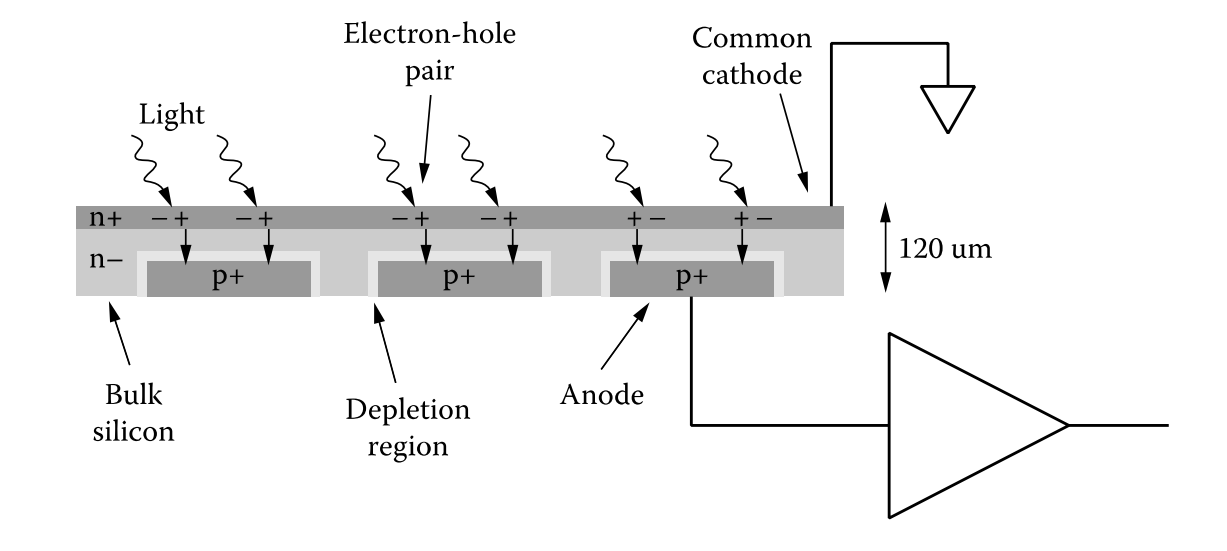
Electronic noise floor 1–5 pA_{rms}, depending on frame rate

^a PD refers to pixels of the photodiode matrix.

Rivelatori a conversione indiretta

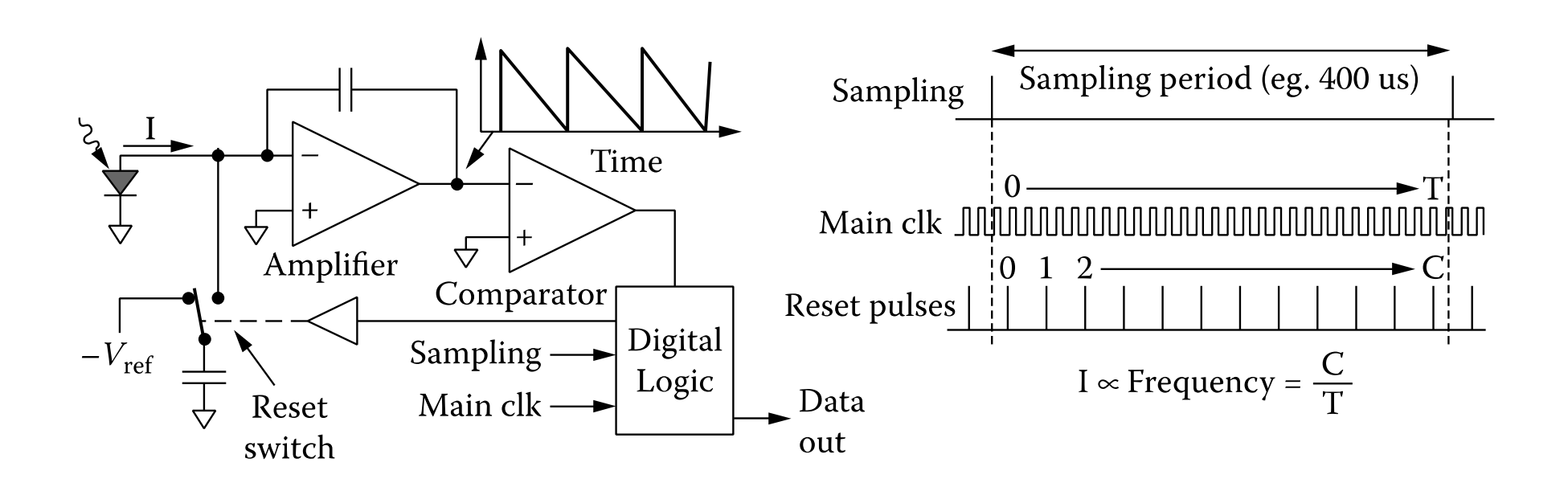


Diffusione di lacune in 10 us



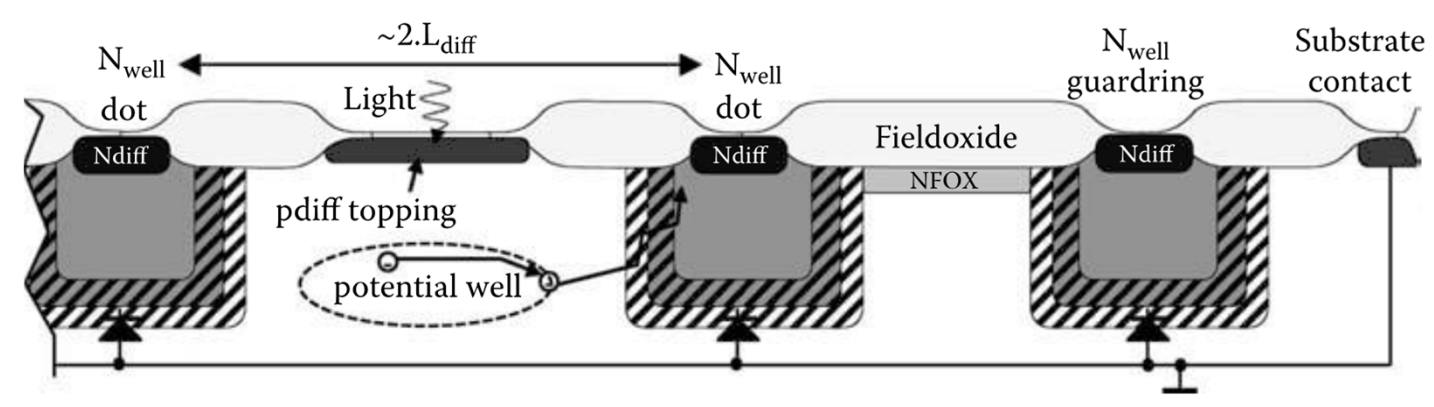
Circuito di lettura

Convertitore corrente-frequenza, A/D converter



Rate up to 10000 fps
At 2500 fps electronic noise ≈2pA

Integrazione dei fotodiodi nei wafer



Measured Characteristic of CMOS Photodiode

Capacitance 5.6–6.4 pF^a

Dark current 150 fA (at 20°C)

Responsiveness $0.13 \text{ A/W} (\lambda = 480 \text{ nm})$

Cutoff frequency >15 kHz

^a Pixel size is $1.390 \times 0.830 \text{ mm}^2$.

Integrazione dei fotodiodi con l'amplificatore di corrente

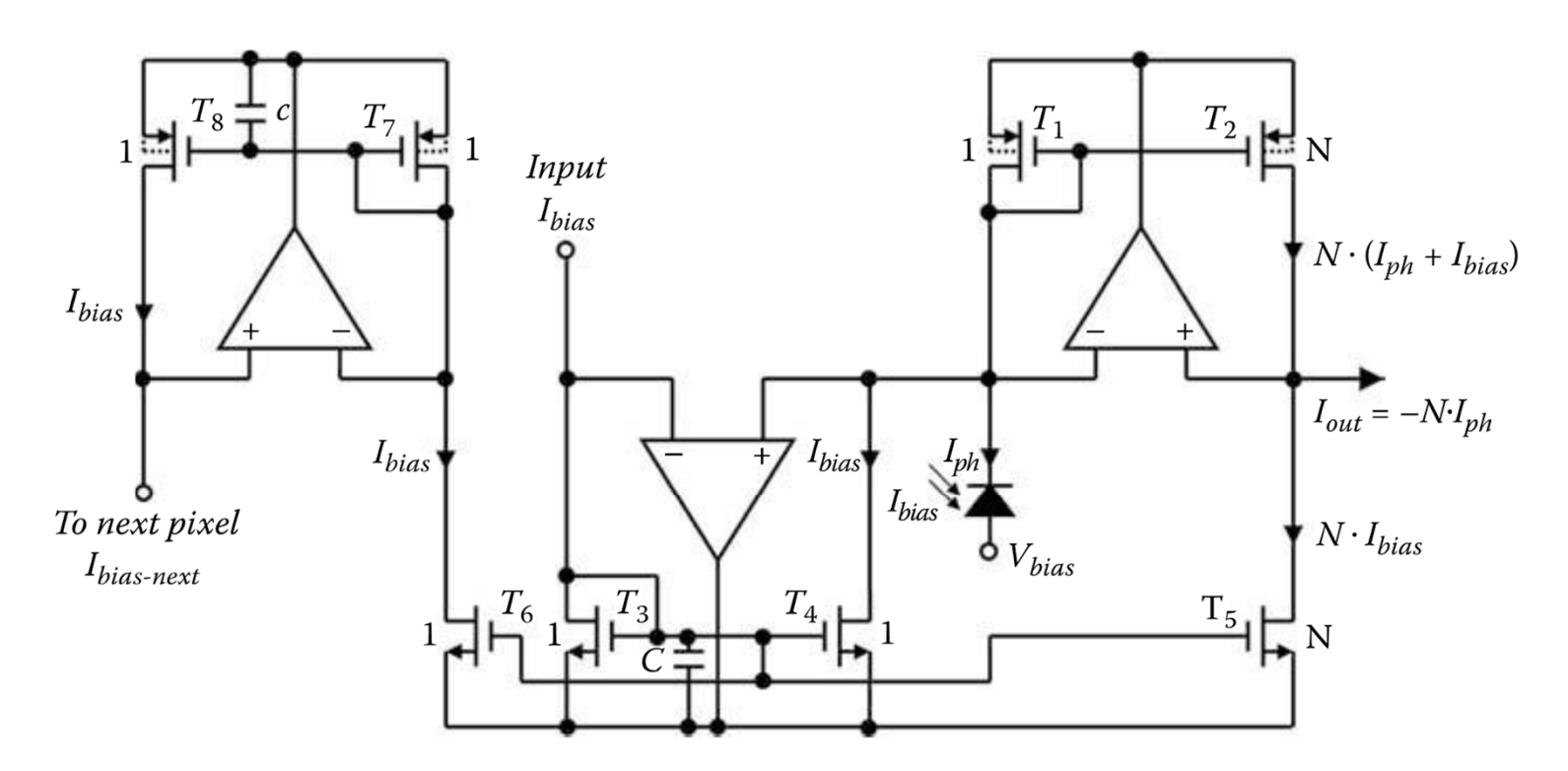
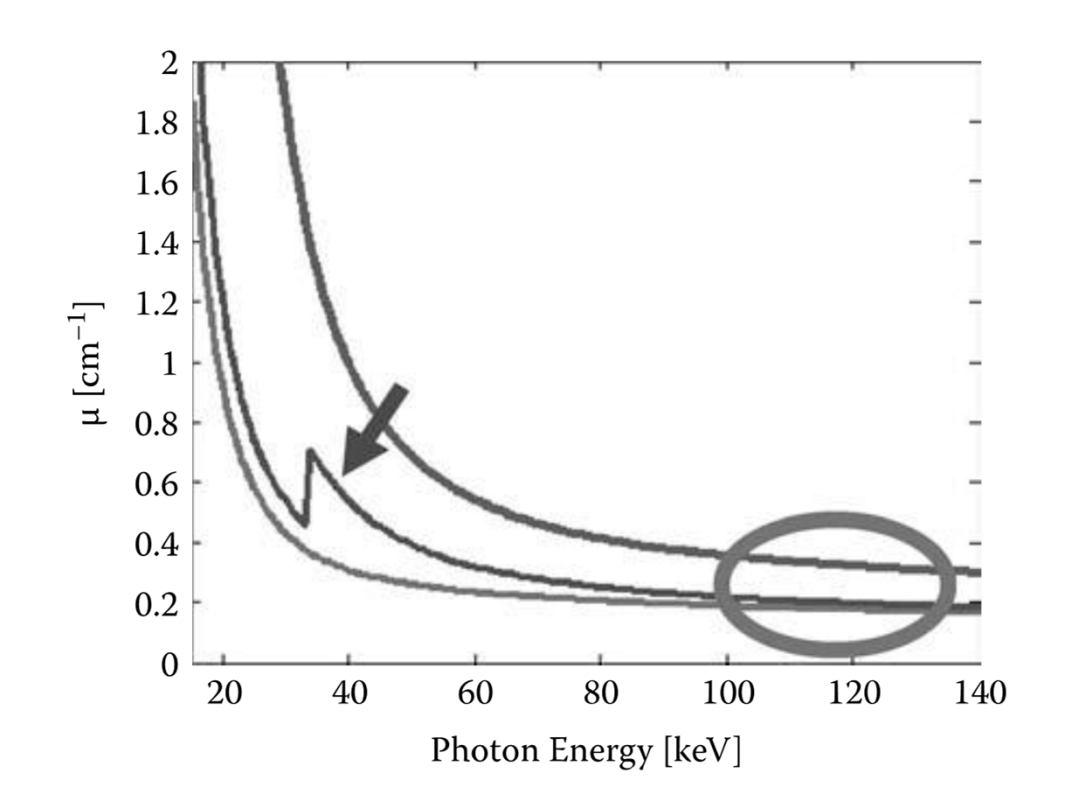


FIGURE 2.7 Complete in-pixel current-mode amplifier. (From R. Steadman et al., "A High Dynamic Range Current-Mode Amplifier for Computed Tomography," *IEEE Journal of Solid-State Circuits* 41 [2006]: 1615–1619. With permission.)

Coefficiente di assorbimento

• Dipende da:

- Composizione chimica (andamento della curva)
- Massa (ampiezza)
- Energia della radiazione

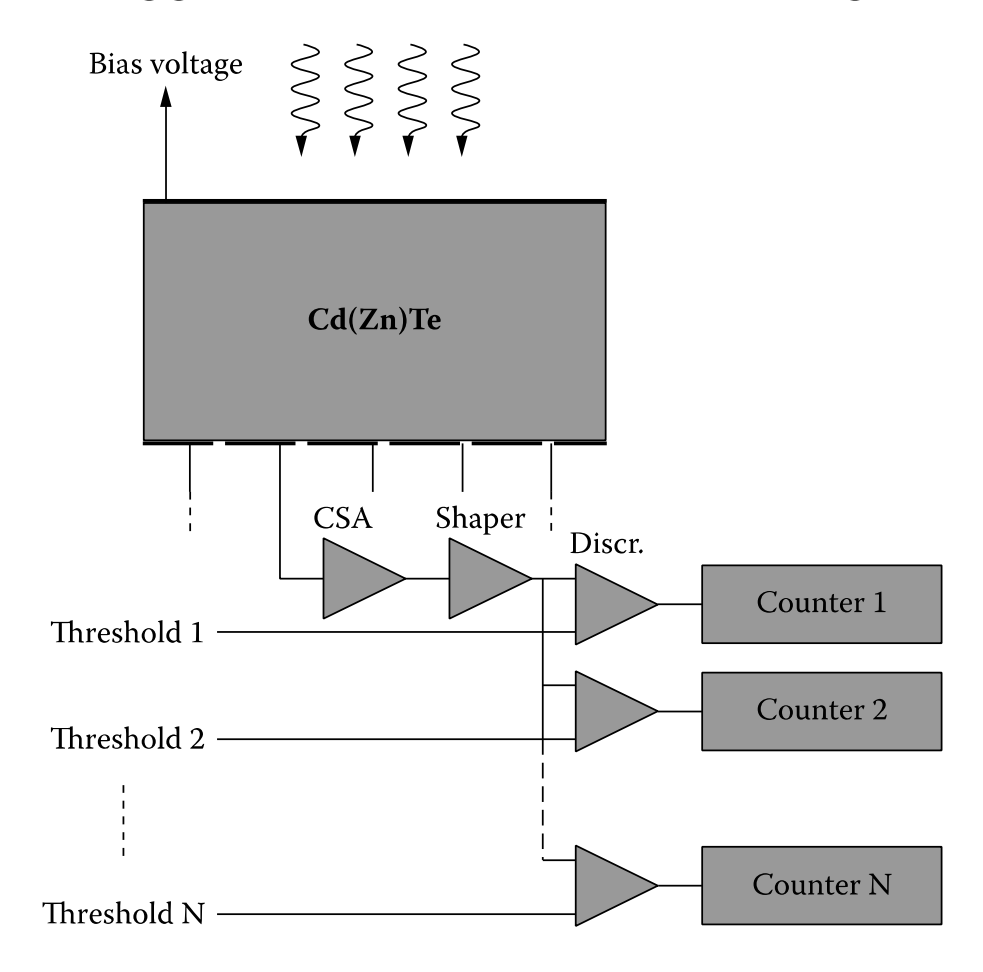


Detector a lettura di corrente

- Svantaggi:
 - Range dinamico è limitato dal rumore
 - Minimo segnale rivelabile è limitato dal rumore
 - Si perde l'informazione sull'energia

Detector a conteggio di fotoni

Rivelatori a conteggio di fotoni per l'analisi energetica



Small-pixel effect

$$I(t) = e \times \mu_e \times \vec{E}(\vec{x}(t)) \cdot \nabla \varphi(\vec{x}(t))$$

Voltage 100-500V t_d 100-200ns

Small-pixel effect t_{ind} 3-10ns

Conteggi fino a 10⁶ ph/s per pixel

Fotoconduttori utilizzati

TABLE 3.1
Characteristics of Candidate Detector Materials for X-ray Imaging: Analysis of Single Crystals at Room Temperature

Material	Mean Energy for e-h Creation (eV)	Density (g/cm³)	Atomic Number	Resistivity (Ohm-cm)	Electron Mobility- Lifetime Product (cm²/V)	Hole Mobility- Lifetime Product (cm²/V)
CdTe	4.43	6.2	48,52	10^{9}	3.3×10^{-3}	2×10^{-4}
CdZnTe	5	6	48,30,52	10^{11}	1×10^{-3}	6×10^{-6}
HgI2	4.2	6.4	80,53	10^{13}	10-4	4×10^{-5}
TlBr	6.5	7.56	81,35	10^{12}	1.6×10^{-5}	1.5×10^{-6}
PbI2	4.9	6.2	82,53	10^{12}	8×10^{-6}	

Applicazioni

- Radiologia
- Densitometria ossea
- Visualizzazione di tumori
- Progetto di protesi
- Pianificazioni di radioterapie

Cardio Computed Tomography



